

Paul-Ehrlich-Straße  
Gebäude 14  
67663 Kaiserslautern

Telefon: +49 (0)631 205-3833  
Telefax: +49 (0)631 205-3555

[catherina.thiele@bauing.uni-kl.de](mailto:catherina.thiele@bauing.uni-kl.de)  
[www.massivbau-kl.de](http://www.massivbau-kl.de)

Projekt: 20046 /15515\_de  
Bericht zu Bewehrungsanschlüssen mit dem  
fischer Injektionssystem FIS V Plus/ FIS V Plus  
Low Speed im Brandfall

Auftraggeber: fischerwerke GmbH & Co. KG  
Denzlingen, Deutschland

Autor: Heiner Kruse

Datum: 26.11.2020

C. Thiele

Heiner Kruse

apl. Prof. Dr.-Ing. Catherina Thiele

Heiner Kruse M.Sc.

**Inhaltsverzeichnis**

<b>1. Allgemeines .....</b>	<b>3</b>
<b>2. Elemente .....</b>	<b>3</b>
<b>3. Methode.....</b>	<b>3</b>
<b>4. Eingangswerte für die Simulation .....</b>	<b>5</b>
<b>5. Untersuchte Anschluss situationen.....</b>	<b>7</b>
<b>6. Ergebnisse der Simulation.....</b>	<b>9</b>
6.1. Verbandspannungen für den Platte-Platte-Anschluss .....	9
6.2. Widerstände für den Balken-Wand-Anschluss.....	11
6.2.1. Widerstände für den Balken-Wand-Anschluss mit einer Betondeckung von 10mm .....	12
6.2.2. Widerstände für den Balken-Wand-Anschluss mit einer Betondeckung von 20mm .....	14
6.2.3. Widerstände für den Balken-Wand-Anschluss mit einer Betondeckung von 30mm .....	20
6.2.4. Widerstände für den Balken-Wand-Anschluss mit einer Betondeckung von 40mm .....	28
6.2.5. Widerstände für den Balken-Wand-Anschluss mit einer Betondeckung von 55mm .....	36
<b>7. Referenzen .....</b>	<b>44</b>

## 1. Allgemeines

Die TU Kaiserslautern wurde von der fischerwerke GmbH & Co. KG beauftragt Feuerwiderstände für den Bewehrungsanschluss mit dem Injektionssystem FIS V Plus / FIS V Plus Low Speed für verschiedene Anschlussituationen zu ermitteln. Das nachfolgende Dokument basiert auf Grundlage der Versuchsergebnisse des Versuchsberichts 18049HK15563 [1] und dem Gutachten "Project 20037HK/15511\_3" [7].

## 2. Elemente

Es wurden Bewehrungsdurchmesser von Ø 8 bis 28 mm mit Verankerungstiefen zwischen 100 und 1210 mm in C20/25 simuliert. Auf der sicheren Seite liegend, können die Simulationswerte für Verankerungstiefen bis 2000 mm angenommen werden. Es wurde ein Anschluss einer Platte an eine Platte untersucht und ein Anschluss eines Balkens an eine Wand.

Ermittelt wurden:

- charakteristische Verbundspannungen für den Plattenanschluss,
- charakteristische Tragfähigkeiten Bewehrungsstäbe in Balken-Wand-Anschlüssen

## 3. Methode

Die Entwurfsmethode besteht aus vier Schritten (siehe Abbildung 1). Zunächst wurde ein Abminderungsfaktor  $K_N(\theta)$  [1] bestimmt, der das Verhältnis zwischen Verbundwiderstand und Temperatur auf der Grundlage von Ausziehversuchen bei verschiedenen Temperaturen beschreibt. Zweitens wurde eine thermische Simulation mit der Finite-Elemente-Methode durchgeführt, um die Temperatur entlang des Bewehrungsstabs zu einem bestimmten Zeitpunkt  $T$  während eines Brandes zu bestimmen. Drittens wurde die Verbundspannung im Brandfall anhand der ersten beiden Schritte definiert. Ein vierter Schritt bei Balken-Wand-Anschluss ist die Berechnung des charakteristischen Widerstandes im Brandfall durch Integration der Verbundspannung.

Die Eingabeparameter für die thermische Simulation wurden in Übereinstimmung mit [2], [3] und [4] angenommen.

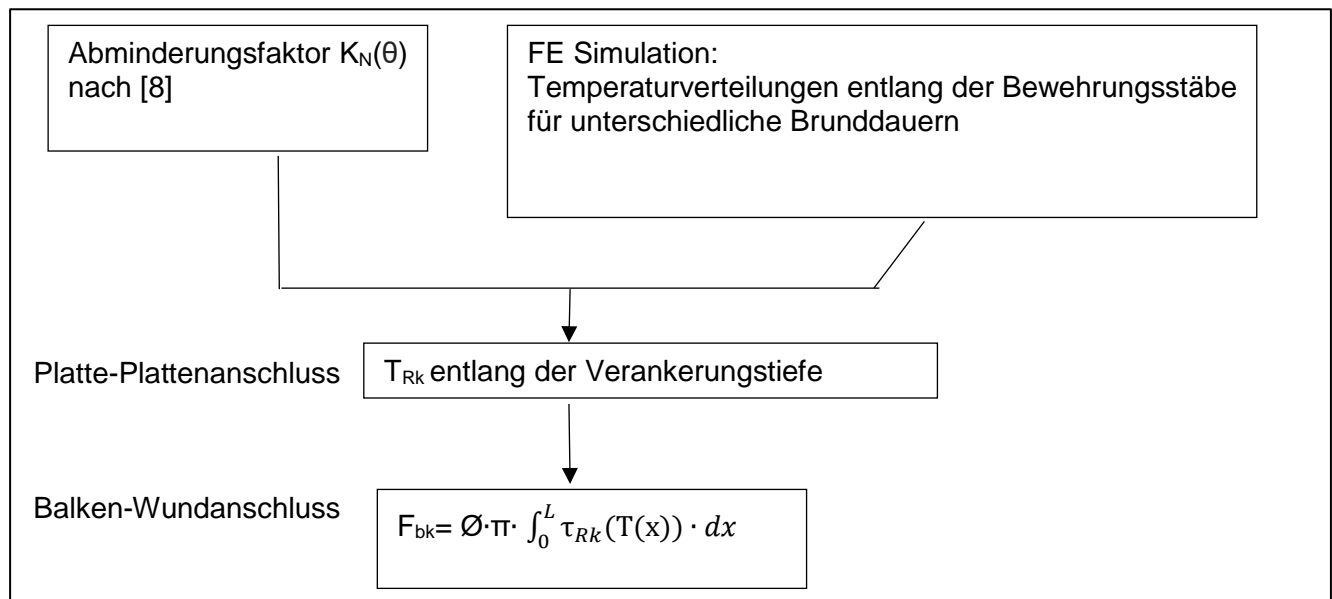


Abbildung 1: Beschreibung der angewendeten Methodik

---

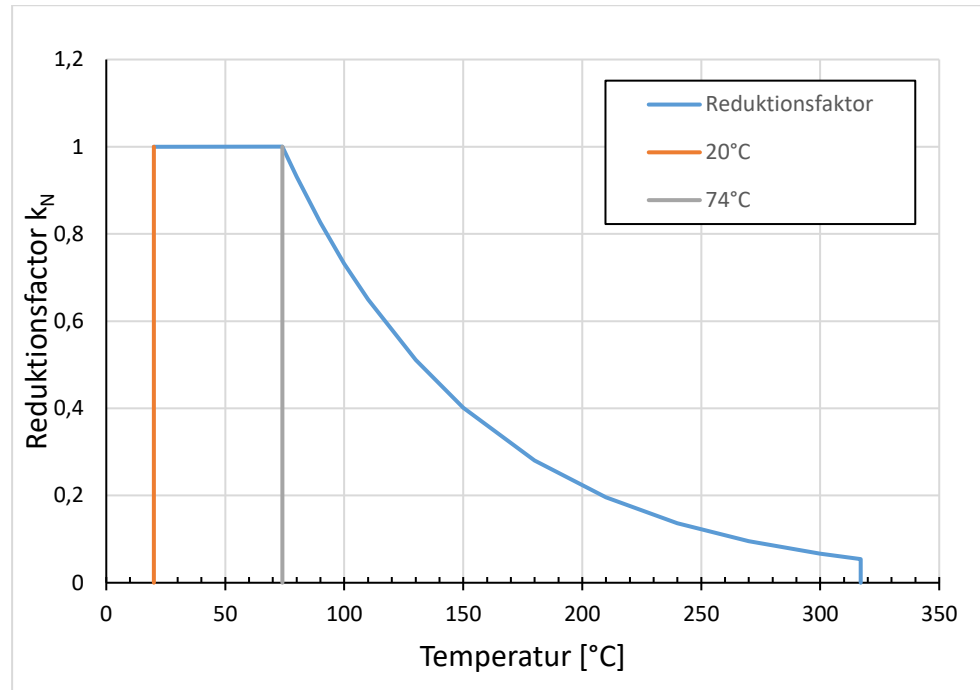
Bericht zu Bewehrungsanschlüssen mit dem fischer Injektionssystem FIS V Plus / FIS V Plus Low Speed im Brandfall

---

Mit:

- $\tau_{RK}$ : charakteristische Verbandsspannung [ $N/mm^2$ ]
- T: Temperatur [ $^\circ C$ ]
- $F_{bk}$ : charakteristischer Widerstand [N]
- L: Verankerungstiefe [mm]
- $\emptyset$ : Stabdurchmesser [mm]

In Abbildung 2 ist der Abminderungsfaktor für die Verbandsspannungen in Abhängigkeit von der Temperatur angegeben [1].



$$\begin{aligned}
20^\circ C \leq \theta \leq 74^\circ C \quad & k_N = 1 \\
75^\circ C \leq \theta \leq 317^\circ C \quad & k_N = \frac{24,308 \cdot e^{-0,012 \cdot \theta}}{10} \\
\theta > 317^\circ C \quad & k_N = 0
\end{aligned}$$

Abbildung 2: Abminderungsfaktor für die Verbandsspannungen in Abhängigkeit von der Temperatur

In diesem Bericht wird mit charakteristischen Verbandsspannungen gearbeitet. Dementsprechend werden die Verbandsspannungen und Tragfähigkeiten ebenfalls als charakteristische Werte angegeben.

#### 4. Eingangswerte für die Simulation

Die Simulationen wurden mit Ansys Workbench durchgeführt. Folgende Materialeigenschaften wurden angesetzt:

- Betoneigenschaften

Beton: C20/25

$$f_{bk} = f_{bd} \times \gamma_c = 2,3 \times 1,5 = 3,45 \text{ N/mm}^2$$

Mit

$f_{bd}$ : Bemessungswert der Verbandsspannung C20/25 [5]

$\gamma_c$ : Teilsicherheitsbeiwert für Beton [5]

Die thermischen Eigenschaften von Beton wurden nach DIN EN 1992-1-2 (+NA) [2] und die thermischen Eigenschaften des Stahls nach DIN EN 1993-1-2 (+NA) [3] angenommen.

Die temperaturabhängigen Eigenschaften: thermische Leitfähigkeit, Dichte und spezifische Wärmekapazität sind in den folgenden Abbildungen angegeben.

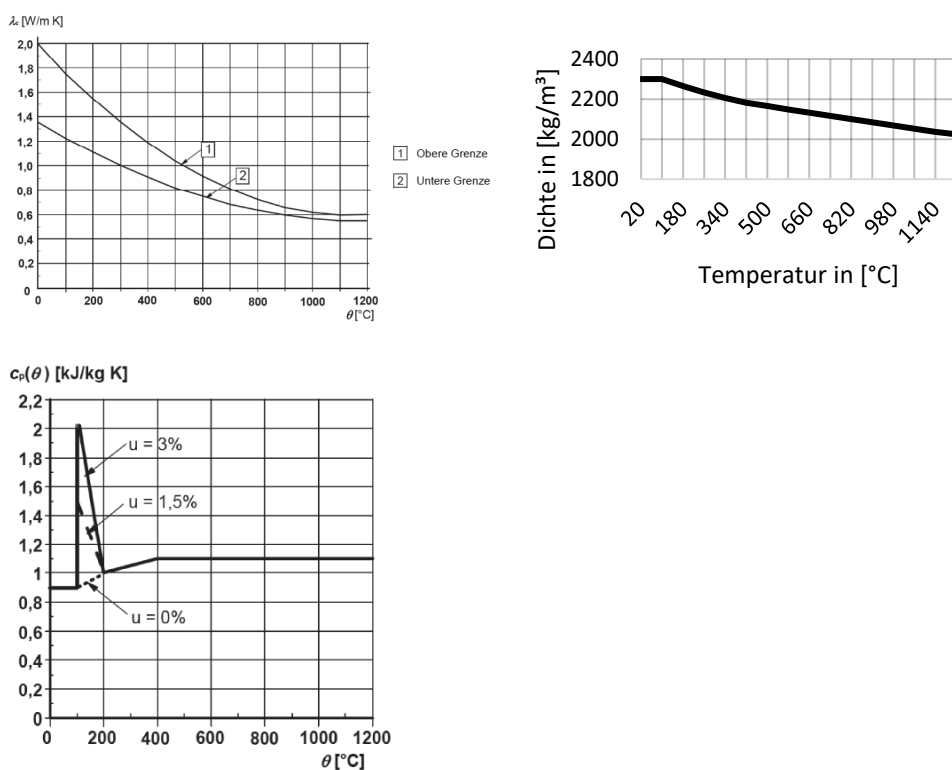
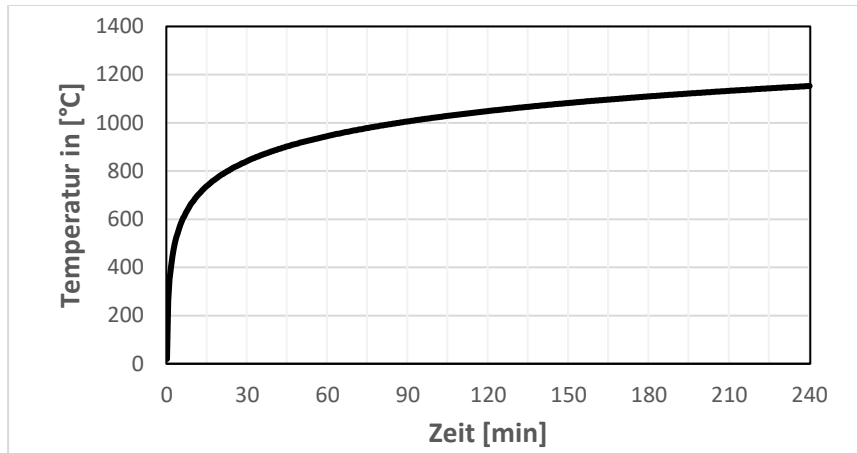


Abbildung 3: Thermische Eigenschaften von Beton aus DIN EN 1992-1-2 [2].

Stabstahl: mit einer Streckgrenze von  $f_y = 500 \text{ N/mm}^2$  nach [5]

**Brandbeanspruchung**

Die Einheitstemperaturkurve wurde entsprechend DIN ISO 834-1 [6] angesetzt.



$$\theta_g = 20 + 345 \log_{10}(8t + 1)$$

$\theta_g$  Gastemperatur  
 $t$  Zeit in Minuten

Abbildung 4: Einheitstemperaturkurve [6]

## 5. Untersuchte Anschlusssituationen

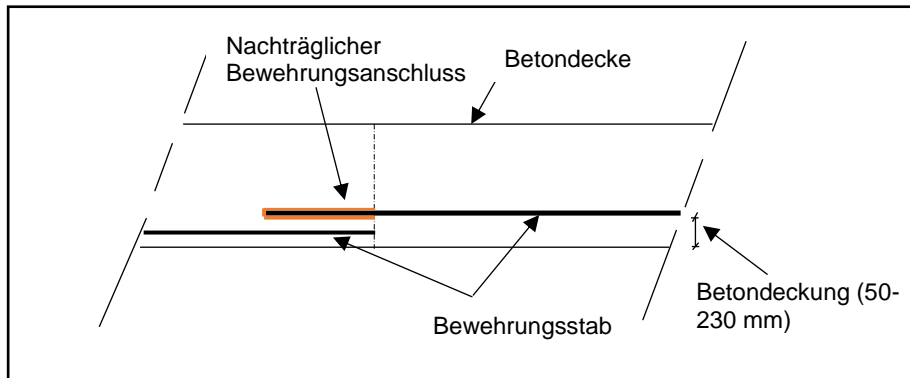


Abbildung 5: Plattenanschluss an Platte

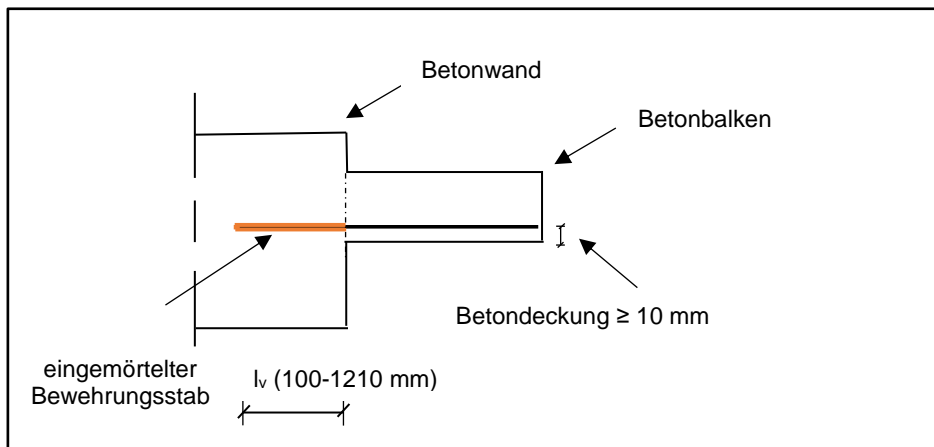


Abbildung 6: Balkenanschluss an Wand

Für die Auswertung der Balken-Wandanschlüsse wurden die Temperaturen der Eckstäbe verwendet. Auf der sicheren Seite liegend, können die ermittelten Lasten auch für Platten-Wand-Anschlüsse verwendet werden.

Bericht zu Bewehrungsanschlüssen mit dem fischer Injektionssystem FIS V Plus / FIS V Plus Low Speed im Brandfall

Diese Bilder zeigen Temperaturverläufe nach 30, 120 und 240 min Branddauer. Alle Temperaturwerte sind in [°] dargestellt.

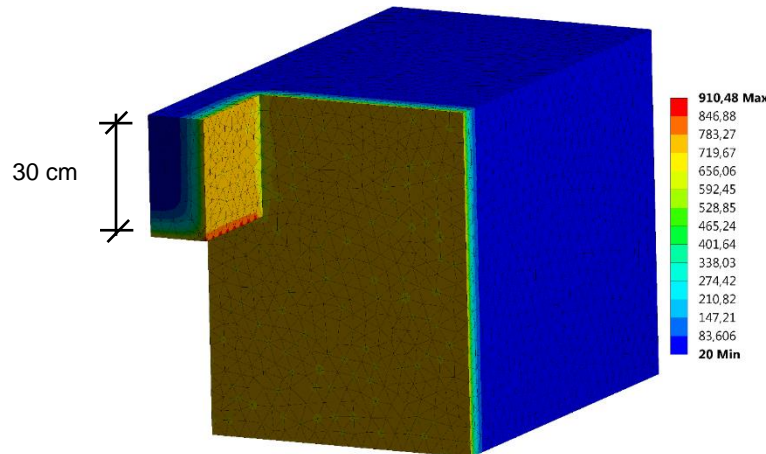


Abbildung 7: Temperaturverläufe nach 30 Minuten Branddauer

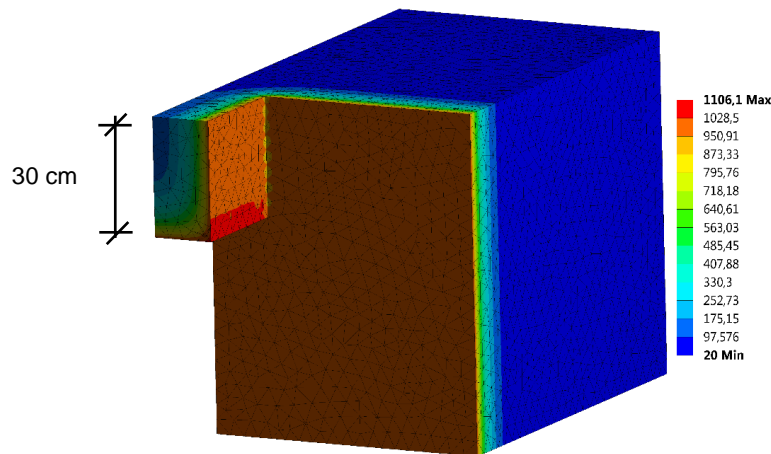


Abbildung 8: Temperaturverläufe nach 120 Minuten Branddauer

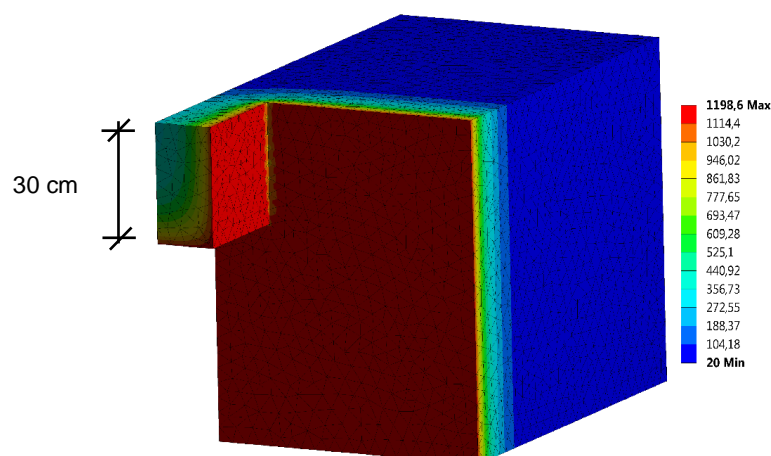


Abbildung 9: Temperaturverläufe nach 240 Minuten Branddauer

## 6. Ergebnisse der Simulation

### 6.1. Verbandsspannungen für den Platte-Platte-Anschluss

Tabelle 1 gibt charakteristische Verbandsspannungen für Anschlüsse von Platten an Platten für Betone der Festigkeitsklasse C20/25 und einer Betondeckung zwischen 50 und 230 mm an.

Das Modell wurde einer Temperaturbeanspruchung entsprechend der Einheitstemperaturkurve DIN ISO 834-1 [6]. (bei 30, 60, 90, 120, 180, 240 min) ausgesetzt.

- Die folgenden Tabellen geben charakteristische Widerstände im Brandfall an.
- Eine Bemessung im kalten Zustand ist nicht Teil dieser Auswertung. Diese ist immer zusätzlich erforderlich.
- Die Reduktion der Stahltragfähigkeit infolge erhöhter Temperatur wurde nicht berücksichtigt
- Zwischenwerte dürfen linear interpoliert werden.
- Bei höheren Betonfestigkeitsklassen dürfen auf der sicheren Seite liegend, die Werte der Betonfestigkeitsklasse C20/25 angenommen werden.

## Bericht zu Bewehrungsanschlüssen mit dem fischer Injektionssystem FIS V Plus / FIS V Plus Low Speed im Brandfall

Tabelle 1: Verbindung Platte-Platte

<b>Betondeckung</b>	<b>Charakteristische Verbandsspannung im Brandfall <math>f_{bk,fire}</math> [N/mm<sup>2</sup>]</b>					
<b>c<sub>nom</sub> [mm]</b>	<b>R30</b>	<b>R60</b>	<b>R90</b>	<b>R120</b>	<b>R180</b>	<b>R240</b>
50	1,9	0,4	0,0	0,0	0,0	0,0
60	2,8	0,8	0,3			
70	3,5	1,3	0,5	0,3	0,0	0,0
80		2,0	0,9	0,5		
90		2,6	1,4	0,7	0,3	0,0
100		3,2	1,9	1,1	0,4	0,2
110		2,4	1,5	0,6	0,3	0,3
120		2,8	1,9	0,9	0,5	
130		3,3	2,4	1,2	0,6	0,6
140		3,5	2,8	1,5	0,9	
150			3,2	1,9	1,1	0,9
160			3,5	2,3	1,4	
170				2,6	1,7	1,4
180				3,0	2,0	
190		3,5	3,3	2,4	2,0	2,4
200			3,5	2,7	2,7	
210					2,9	2,4
220					3,2	
230					3,5	

## 6.2. Widerstände für den Balken-Wand-Anschluss

Die charakteristischen Widerstände für den Balken-Wand-Anschluss wurden für C20/25 und eine Betondeckung größer als 10 mm bestimmt.

Die Bewehrungsstäbe wurden mit einer Streckgrenze von  $f_{yk} = 500 \text{ N/mm}^2$  und einer aufnehmbaren Zugkraft von  $N_{Rk} = A_s \times f_y$  ermittelt.

Das Modell wurde einer Temperaturbeanspruchung entsprechend der Einheitstemperaturkurve DIN ISO 834-1 [6]. (bei 30, 60, 90, 120, 180, 240 min) ausgesetzt.

- Die folgenden Tabellen geben charakteristische Widerstände im Brandfall an.
- Eine Bemessung im kalten Zustand ist nicht Teil dieser Auswertung. Diese ist immer zusätzlich erforderlich.
- Die Reduktion der Stahltragfähigkeit infolge erhöhter Temperatur wurde nicht berücksichtigt
- Zwischenwerte dürfen linear interpoliert werden.
- Bei höheren Betonfestigkeitsklassen dürfen auf der sicheren Seite liegend, die Werte der Betonfestigkeitsklasse C20/25 angenommen werden.

## Bericht zu Bewehrungsanschlüssen mit dem fischer Injektionssystem FIS V Plus / FIS V Plus Low Speed im Brandfall

## 6.2.1. Widerstände für den Balken-Wand-Anschluss mit einer Betondeckung von 10mm

Tabelle 2: Balken-Wand-Anschluss für  $c_{nom,min} = 10\text{mm}$  und Ø8mm

<b>Betondeckung = 10mm</b>		<b>Charakteristischer Widerstand im Brandfall <math>N_{Rk,fire} [\text{kN}]</math></b>						
<b>Ø [mm]</b>	<b>lv [mm]</b>	<b>R30</b>	<b>R60</b>	<b>R90</b>	<b>R120</b>	<b>R180</b>	<b>R240</b>	
8	100	4,5	2,1	1,1	0,4	0,2	0,1	
	110	5,4	2,6	1,3	0,4	0,3	0,1	
	140	8,0	5,5	3,7	2,3	1,2	0,6	
	170	10,6	8,1	6,3	4,5	2,6	1,5	
	200	13,2	10,7	8,9	7,3	5,1	3,3	
	230	15,8	13,3	11,5	9,9	7,7	5,5	
	260	18,4	15,9	14,1	12,5	10,3	8,2	
	290	21,0	18,5	16,7	15,1	12,9	10,8	
	320	23,6	21,1	19,3	17,7	15,5	13,5	
	340	25,1	22,8	21,1	19,4	17,2	15,2	
	370		23,7	22,0	19,8	17,8		
	390	25,1	25,1	23,8	21,6	19,5		
	410			25,1	23,3	21,3		
	440	25,1	25,1		25,1	23,9		
	460					25,1		

## Bericht zu Bewehrungsanschlüssen mit dem fischer Injektionssystem FIS V Plus / FIS V Plus Low Speed im Brandfall

Tabelle 3: Balken-Wand-Anschluss für  $c_{nom,min} = 10\text{mm}$  und  $\varnothing 10\text{mm}$ 

<b>Betondeckung = 10mm</b>		<b>Charakteristischer Widerstand im Brandfall <math>N_{Rk,fire} [\text{kN}]</math></b>					
<b><math>\varnothing [\text{mm}]</math></b>	<b><math>l_v [\text{mm}]</math></b>	<b>R30</b>	<b>R60</b>	<b>R90</b>	<b>R120</b>	<b>R180</b>	<b>R240</b>
10	100	5,5	2,5	1,2	0,4	0,3	0,1
	110	6,6	3,0	1,5	0,5	0,3	0,1
	140	9,8	6,6	4,3	2,6	1,4	0,7
	170	13,1	9,8	7,6	5,2	3,0	1,7
	200	16,3	13,1	10,8	8,7	6,0	3,9
	230	19,6	16,3	14,1	12,0	9,3	6,5
	260	22,8	19,6	17,3	15,2	12,5	9,9
	290	26,1	22,8	20,6	18,5	15,8	13,2
	320	29,3	26,1	23,8	21,7	19,0	16,4
	350	32,6	29,3	27,1	25,0	22,3	19,7
	380	35,8	32,6	30,3	28,3	25,5	22,9
	410	39,1	35,8	33,6	31,5	28,8	26,2
	420	39,3	36,9	34,7	32,6	29,9	27,3
	450			37,9	35,8	33,1	30,5
	470				38,0	35,3	32,7
	490	39,3				37,5	34,8
	510					39,3	37,0
	540						39,3

## Bericht zu Bewehrungsanschlüssen mit dem fischer Injektionssystem FIS V Plus / FIS V Plus Low Speed im Brandfall

## 6.2.2. Widerstände für den Balken-Wand-Anschluss mit einer Betondeckung von 20mm

Tabelle 4: Balken-Wand-Anschluss für  $c_{nom,min} = 20\text{mm}$  und Ø8mm

<b>Betondeckung = 20mm</b>		<b>Charakteristischer Widerstand im Brandfall <math>N_{Rk,fire} [\text{kN}]</math></b>					
<b>Ø [mm]</b>	<b>lv [mm]</b>	<b>R30</b>	<b>R60</b>	<b>R90</b>	<b>R120</b>	<b>R180</b>	<b>R240</b>
8	100	5,3	2,6	1,3	0,6	0,3	0,1
	110	6,1	3,1	1,5	0,6	0,3	0,1
	140	8,7	6,0	4,1	2,6	1,3	0,7
	170	11,3	8,6	6,7	4,9	2,8	1,6
	200	13,9	11,2	9,3	7,6	5,4	3,5
	230	16,5	13,8	11,9	10,2	8,0	5,7
	260	19,1	16,4	14,5	12,8	10,6	8,5
	290	21,7	19,0	17,1	15,4	13,2	11,1
	320	24,3	21,6	19,7	18,0	15,8	13,7
	330		22,4	20,5	18,9	16,6	14,5
	360		25,0	23,1	21,5	19,2	17,1
	370			24,0	22,4	20,1	18,0
	390				24,1	21,8	19,7
	410					23,6	21,5
	430						23,2
	460						25,1

## Bericht zu Bewehrungsanschlüssen mit dem fischer Injektionssystem FIS V Plus / FIS V Plus Low Speed im Brandfall

Tabelle 5: Balken-Wand-Anschluss für  $c_{nom,min} = 20\text{mm}$  und  $\varnothing 10\text{mm}$ 

<b>Betondeckung = 20mm</b>		<b>Charakteristischer Widerstand im Brandfall <math>N_{Rk,fire} [\text{kN}]</math></b>					
<b><math>\varnothing [\text{mm}]</math></b>	<b><math>l_v [\text{mm}]</math></b>	<b>R30</b>	<b>R60</b>	<b>R90</b>	<b>R120</b>	<b>R180</b>	<b>R240</b>
10	100	6,5	3,0	1,5	0,7	0,3	0,1
	110	7,6	3,6	1,8	0,7	0,4	0,1
	140	10,8	7,2	4,8	3,0	1,6	0,8
	170	14,1	10,4	8,1	5,8	3,3	1,9
	200	17,3	13,7	11,3	9,3	6,4	4,1
	230	20,6	16,9	14,6	12,5	9,6	6,8
	260	23,8	20,2	17,8	15,8	12,9	10,2
	290	27,1	23,4	21,1	19,0	16,1	13,5
	320	30,3	26,7	24,3	22,3	19,4	16,7
	350	33,6	29,9	27,6	25,6	22,6	20,0
	380	36,8	33,2	30,8	28,8	25,9	23,2
	410	39,3	36,4	34,1	32,1	29,1	26,5
	440		39,3	37,3	35,3	32,4	29,7
	460			39,3	37,5	34,6	31,9
	490				39,3	37,8	35,2
	520					38,4	39,3
	530					39,3	39,3

## Bericht zu Bewehrungsanschlüssen mit dem fischer Injektionssystem FIS V Plus / FIS V Plus Low Speed im Brandfall

Tabelle 6: Balken-Wand-Anschluss für  $c_{nom,min} = 20\text{mm}$  und  $\varnothing 12\text{mm}$ 

<b>Betondeckung = 20mm</b>		<b>Charakteristischer Widerstand im Brandfall <math>N_{Rk,fire} [\text{kN}]</math></b>					
<b><math>\varnothing [\text{mm}]</math></b>	<b><math>l_v [\text{mm}]</math></b>	<b>R30</b>	<b>R60</b>	<b>R90</b>	<b>R120</b>	<b>R180</b>	<b>R240</b>
12	110	9,0	4,1	2,0	0,8	0,4	0,1
	140	12,9	8,4	5,5	3,4	1,8	0,9
	170	16,8	12,3	9,3	6,5	3,7	2,1
	200	20,7	16,2	13,3	10,7	7,3	4,7
	230	24,6	20,1	17,2	14,6	11,2	7,8
	260	28,5	24,0	21,1	18,5	15,1	11,9
	290	32,4	27,9	25,0	22,4	19,0	15,8
	320	36,3	31,8	28,9	26,3	22,9	19,7
	350	40,2	35,7	32,8	30,2	26,8	23,6
	380	44,1	39,6	36,7	34,1	30,7	27,5
	410	48,0	43,5	40,6	38,0	34,6	31,4
	440	51,9	47,4	44,5	41,9	38,5	35,3
	470	55,8	51,3	48,4	45,8	42,4	39,2
	480	56,5	52,6	49,7	47,1	43,7	40,5
	510		56,5	53,6	51,1	47,6	44,4
	540			56,5	55,0	51,5	48,3
	560				56,5	54,1	50,9
	580					56,5	53,5
	610					56,5	

## Bericht zu Bewehrungsanschlüssen mit dem fischer Injektionssystem FIS V Plus / FIS V Plus Low Speed im Brandfall

Tabelle 7: Balken-Wand-Anschluss für  $c_{nom,min} = 20\text{mm}$  und  $\varnothing 14\text{mm}$ 

<b>Betondeckung = 20mm</b>		<b>Charakteristischer Widerstand im Brandfall <math>N_{Rk,fire} [\text{kN}]</math></b>					
<b><math>\varnothing [\text{mm}]</math></b>	<b><math>l_v [\text{mm}]</math></b>	<b>R30</b>	<b>R60</b>	<b>R90</b>	<b>R120</b>	<b>R180</b>	<b>R240</b>
14	140	15,1	9,6	6,1	3,8	1,9	1,0
	170	19,6	14,1	10,4	7,2	4,0	2,3
	200	24,2	18,7	15,1	12,1	8,0	5,1
	230	28,7	23,2	19,6	16,7	12,4	8,5
	260	33,3	27,8	24,2	21,2	17,0	13,3
	290	37,8	32,3	28,7	25,8	21,6	17,9
	320	42,4	36,9	33,3	30,3	26,1	22,4
	350	47,0	41,4	37,8	34,9	30,7	27,0
	380	51,5	46,0	42,4	39,4	35,2	31,6
	410	56,1	50,5	46,9	44,0	39,8	36,1
	440	60,6	55,1	51,5	48,5	44,4	40,7
	470	65,2	59,6	56,0	53,1	48,9	45,2
	500	69,7	64,2	60,6	57,6	53,5	49,8
	530	74,3	68,7	65,1	62,2	58,0	54,3
550	77,0	71,8	68,2	65,2	61,0	57,3	
		76,3	72,7	69,8	65,6	61,9	
		74,2	71,3	67,1	63,4		
	77,0	74,3	70,1	66,5			
		73,2	69,5				
		77,0	74,0				
		77,0					

## Bericht zu Bewehrungsanschlüssen mit dem fischer Injektionssystem FIS V Plus / FIS V Plus Low Speed im Brandfall

Tabelle 8: Balken-Wand-Anschluss für  $c_{nom,min} = 20\text{mm}$  und  $\varnothing 16\text{mm}$ 

<b>Betondeckung = 20mm</b>		<b>Charakteristischer Widerstand im Brandfall <math>N_{Rk,fire}</math> [kN]</b>					
<b><math>\varnothing</math> [mm]</b>	<b><math>l_v</math> [mm]</b>	<b>R30</b>	<b>R60</b>	<b>R90</b>	<b>R120</b>	<b>R180</b>	<b>R240</b>
16	160	20,7	14,1	9,8	6,7	3,7	2,1
	190	25,9	19,3	15,1	11,4	6,8	4,1
	220	31,1	24,5	20,3	16,9	12,0	8,1
	250	36,3	29,7	25,5	22,1	17,2	12,6
	280	41,5	34,9	30,7	27,3	22,4	18,1
	310	46,7	40,1	35,9	32,5	27,6	23,3
	340	51,9	45,3	41,1	37,7	32,8	28,5
	370	57,1	50,5	46,3	42,9	38,0	33,7
	400	62,3	55,7	51,5	48,1	43,2	38,9
	430	67,6	60,9	56,7	53,3	48,4	44,1
	460	72,8	66,2	61,9	58,5	53,6	49,3
	490	78,0	71,4	67,1	63,7	58,8	54,5
	520	83,2	76,6	72,3	68,9	64,0	59,7
	550	88,4	81,8	77,5	74,1	69,2	64,9
	580	93,6	87,0	82,7	79,3	74,4	70,1
	610	98,8	92,2	87,9	84,5	79,6	75,3
	620	100,5	93,9	89,6	86,2	81,3	77,1
	650	100,5	99,1	94,8	91,4	86,5	82,3
	660	100,5	100,5	96,6	93,2	88,3	84,0
	690			98,4	93,5	89,2	
	710			100,5	96,9	92,7	
	740				100,5	97,9	
	760				100,5		

## Bericht zu Bewehrungsanschlüssen mit dem fischer Injektionssystem FIS V Plus / FIS V Plus Low Speed im Brandfall

Tabelle 9: Balken-Wand-Anschluss für  $c_{nom,min} = 20\text{mm}$  und  $\varnothing 20\text{mm}$ 

<b>Betondeckung = 20mm</b>		<b>Charakteristischer Widerstand im Brandfall <math>N_{Rk,fire}</math> [kN]</b>					
<b><math>\varnothing</math> [mm]</b>	<b><math>l_v</math> [mm]</b>	<b>R30</b>	<b>R60</b>	<b>R90</b>	<b>R120</b>	<b>R180</b>	<b>R240</b>
20	200	34,7	25,5	20,0	15,6	9,7	6,1
	230	41,2	32,0	26,5	22,1	15,4	10,3
	260	47,7	38,5	33,0	28,6	22,3	16,7
	290	54,2	45,0	39,6	35,1	28,8	23,2
	320	60,7	51,5	46,1	41,6	35,3	29,7
	350	67,2	58,0	52,6	48,1	41,8	36,2
	380	73,7	64,5	59,1	54,6	48,3	42,7
	410	80,2	71,0	65,6	61,1	54,8	49,2
	440	86,7	77,5	72,1	67,6	61,3	55,8
	470	93,2	84,0	78,6	74,1	67,8	62,3
	500	99,7	90,5	85,1	80,6	74,3	68,8
	530	106,2	97,0	91,6	87,1	80,8	75,3
	560	112,7	103,5	98,1	93,6	87,3	81,8
	590	119,2	110,0	104,6	100,1	93,8	88,3
	620	125,7	116,5	111,1	106,6	100,3	94,8
	650	132,2	123,0	117,6	113,1	106,8	101,3
	670	136,6	127,4	121,9	117,5	111,1	105,6
	700	143,1	133,9	128,4	124,0	117,6	112,1
	730	149,6	140,4	134,9	130,5	124,1	118,6
	760	156,1	146,9	141,4	137,0	130,6	125,1
	770		149,1	143,6	139,1	132,8	127,3
	800		155,6	150,1	145,6	139,3	133,8
	810			152,3	147,8	141,5	136,0
	840				154,3	148,0	142,5
	860					152,3	146,8
	890						153,3
	910					157,1	157,1

## Bericht zu Bewehrungsanschlüssen mit dem fischer Injektionssystem FIS V Plus / FIS V Plus Low Speed im Brandfall

## 6.2.3. Widerstände für den Balken-Wand-Anschluss mit einer Betondeckung von 30mm

Tabelle 10: Balken-Wand-Anschluss für  $c_{nom,min} = 30\text{mm}$  und Ø8mm

<b>Betondeckung = 30mm</b>		<b>Charakteristischer Widerstand im Brandfall <math>N_{Rk,fire} [\text{kN}]</math></b>					
<b>Ø [mm]</b>	<b>lv [mm]</b>	<b>R30</b>	<b>R60</b>	<b>R90</b>	<b>R120</b>	<b>R180</b>	<b>R240</b>
8	100	6,2	3,2	1,6	0,7	0,3	0,1
	110	7,1	3,8	2,0	0,8	0,4	0,1
	140	9,7	6,6	4,6	2,9	1,5	0,8
	170	12,3	9,2	7,2	5,3	3,0	1,7
	200	14,9	11,8	9,8	8,0	5,6	3,7
	230	17,5	14,5	12,4	10,6	8,2	6,0
	260	20,1	17,1	15,0	13,2	10,8	8,7
	290	22,7	19,7	17,6	15,8	13,4	11,3
	320		22,3	20,2	18,4	16,0	13,9
	350		24,9	22,8	21,0	18,6	16,5
	360			23,7	21,9	19,5	17,4
	380				23,6	21,2	19,1
	400					23,0	20,9
	430						23,5
	450						25,1

## Bericht zu Bewehrungsanschlüssen mit dem fischer Injektionssystem FIS V Plus / FIS V Plus Low Speed im Brandfall

Tabelle 11: Balken-Wand-Anschluss für  $c_{nom,min} = 30\text{mm}$  und  $\varnothing 10\text{mm}$ 

<b>Betondeckung = 30mm</b>		<b>Charakteristischer Widerstand im Brandfall <math>N_{Rk,fire}</math> [kN]</b>						
<b><math>\varnothing</math> [mm]</b>	<b><math>l_v</math> [mm]</b>	<b>R30</b>	<b>R60</b>	<b>R90</b>	<b>R120</b>	<b>R180</b>	<b>R240</b>	
10	100	7,8	3,9	2,0	0,8	0,4	0,1	
	110	8,9	4,6	2,3	0,9	0,5	0,1	
	140	12,1	8,1	5,5	3,4	1,8	0,9	
	170	15,4	11,4	8,8	6,3	3,6	2,0	
	200	18,6	14,7	12,0	9,7	6,8	4,4	
	230	21,9	17,9	15,3	13,0	10,0	7,1	
	260	25,1	21,2	18,5	16,2	13,3	10,6	
	290	28,4	24,4	21,8	19,5	16,5	13,8	
	320	31,7	27,7	25,0	22,7	19,8	17,1	
	350	34,9	30,9	28,3	26,0	23,0	20,3	
	380	38,2	34,2	31,5	29,2	26,3	23,6	
	400	39,3	36,3	33,7	31,4	28,4	25,7	
	430		39,3	37,0	34,7	31,7	29,0	
	460			39,3	37,9	34,9	32,2	
	480	39,3	39,3		37,1	34,4		
	500				39,3	36,6		
	530					39,3	39,3	

## Bericht zu Bewehrungsanschlüssen mit dem fischer Injektionssystem FIS V Plus / FIS V Plus Low Speed im Brandfall

Tabelle 12: Balken-Wand-Anschluss für  $c_{nom,min} = 30\text{mm}$  und  $\varnothing 12\text{mm}$ 

<b>Betondeckung = 30mm</b>		<b>Charakteristischer Widerstand im Brandfall <math>N_{Rk,fire} [\text{kN}]</math></b>					
<b><math>\varnothing [\text{mm}]</math></b>	<b><math>l_v [\text{mm}]</math></b>	<b>R30</b>	<b>R60</b>	<b>R90</b>	<b>R120</b>	<b>R180</b>	<b>R240</b>
12	110	10,7	5,3	2,7	1,0	0,5	0,1
	140	14,6	9,6	6,4	3,9	2,0	1,0
	170	18,5	13,5	10,3	7,2	4,1	2,3
	200	22,4	17,4	14,2	11,4	7,8	5,0
	230	26,3	21,3	18,1	15,3	11,7	8,1
	260	30,2	25,2	22,0	19,2	15,6	12,3
	290	34,1	29,1	25,9	23,1	19,5	16,2
	320	38,0	33,0	29,8	27,0	23,4	20,1
	350	41,9	36,9	33,7	30,9	27,3	24,0
	380	45,8	40,8	37,6	34,8	31,2	27,9
	410	49,7	44,7	41,5	38,7	35,1	31,8
	440	53,6	48,6	45,4	42,6	39,0	35,7
	470	56,5	52,5	49,3	46,5	42,9	39,6
	500		56,4	53,2	50,4	46,8	43,5
	510		56,5	54,5	51,7	48,1	44,8
	530			56,5	54,3	50,7	47,4
	550				56,5	53,3	50,0
	580					56,5	53,9
	600					56,5	

## Bericht zu Bewehrungsanschlüssen mit dem fischer Injektionssystem FIS V Plus / FIS V Plus Low Speed im Brandfall

Tabelle 13: Balken-Wand-Anschluss für  $c_{nom,min} = 30\text{mm}$  und  $\varnothing 14\text{mm}$ 

<b>Betondeckung = 30mm</b>		<b>Charakteristischer Widerstand im Brandfall <math>N_{Rk,fire}</math> [kN]</b>					
<b><math>\varnothing</math> [mm]</b>	<b><math>l_v</math> [mm]</b>	<b>R30</b>	<b>R60</b>	<b>R90</b>	<b>R120</b>	<b>R180</b>	<b>R240</b>
14	140	17,0	11,0	7,2	4,3	2,2	1,1
	170	21,6	15,5	11,8	8,0	4,5	2,5
	200	26,1	20,1	16,3	12,9	8,6	5,5
	230	30,7	24,6	20,9	17,5	13,1	9,0
	260	35,2	29,2	25,4	22,0	17,7	13,8
	290	39,8	33,8	30,0	26,6	22,3	18,4
	320	44,3	38,3	34,5	31,1	26,8	22,9
	350	48,9	42,9	39,1	35,7	31,4	27,5
	380	53,4	47,4	43,6	40,2	35,9	32,0
	410	58,0	52,0	48,2	44,8	40,5	36,6
	440	62,5	56,5	52,7	49,3	45,0	41,1
	470	67,1	61,1	57,3	53,9	49,6	45,7
	500	71,6	65,6	61,8	58,4	54,1	50,2
	530	76,2	70,2	66,4	63,0	58,7	54,8
77,0	540	77,0	71,7	67,9	64,5	60,2	56,3
	570		76,2	72,4	69,1	64,7	60,9
	580		74,0	70,6	66,3	62,4	
	600	77,0		73,6	69,3	65,4	
	630				73,8	70,0	
	660	77,0				74,5	
	680					77,0	

## Bericht zu Bewehrungsanschlüssen mit dem fischer Injektionssystem FIS V Plus / FIS V Plus Low Speed im Brandfall

Tabelle 14: Balken-Wand-Anschluss für  $c_{nom,min} = 30\text{mm}$  und  $\varnothing 16\text{mm}$ 

<b>Betondeckung = 30mm</b>		<b>Charakteristischer Widerstand im Brandfall <math>N_{Rk,fire}</math> [kN]</b>					
<b><math>\varnothing</math> [mm]</b>	<b><math>l_v</math> [mm]</b>	<b>R30</b>	<b>R60</b>	<b>R90</b>	<b>R120</b>	<b>R180</b>	<b>R240</b>
16	160	23,0	15,8	11,2	7,5	4,1	2,3
	190	28,2	21,0	16,4	12,4	7,4	4,5
	220	33,4	26,2	21,6	17,8	12,7	8,7
	250	38,6	31,4	26,8	23,0	17,9	13,3
	280	43,8	36,6	32,0	28,2	23,1	18,8
	310	49,0	41,8	37,2	33,4	28,3	24,0
	340	54,2	47,0	42,4	38,6	33,5	29,2
	370	59,4	52,2	47,6	43,8	38,7	34,4
	400	64,6	57,4	52,8	49,0	43,9	39,6
	430	69,8	62,6	58,0	54,2	49,2	44,8
	460	75,0	67,8	63,2	59,4	54,4	50,0
	490	80,2	73,0	68,4	64,6	59,6	55,2
	520	85,4	78,2	73,6	69,8	64,8	60,4
	550	90,6	83,4	78,8	75,0	70,0	65,6
	580	95,8	88,6	84,0	80,2	75,2	70,8
100,5	610		93,8	89,2	85,4	80,4	76,0
	640		99,0	94,4	90,6	85,6	81,2
	650			96,2	92,3	87,3	83,0
	680				97,5	92,5	88,2
	700					96,0	91,6
	730						96,8
	760					100,5	100,5

## Bericht zu Bewehrungsanschlüssen mit dem fischer Injektionssystem FIS V Plus / FIS V Plus Low Speed im Brandfall

Tabelle 15: Balken-Wand-Anschluss für  $c_{nom,min} = 30\text{mm}$  und  $\varnothing 20\text{mm}$ 

<b>Betondeckung = 30mm</b>		<b>Charakteristischer Widerstand im Brandfall <math>N_{Rk,fire} [\text{kN}]</math></b>					
<b><math>\varnothing [\text{mm}]</math></b>	<b><math>l_v [\text{mm}]</math></b>	<b>R30</b>	<b>R60</b>	<b>R90</b>	<b>R120</b>	<b>R180</b>	<b>R240</b>
20	200	37,7	28,2	22,1	17,0	10,8	6,8
	230	44,2	34,7	28,6	23,5	16,7	11,2
	260	50,7	41,2	35,1	30,0	23,5	17,7
	290	57,2	47,7	41,6	36,5	30,0	24,2
	320	63,7	54,3	48,1	43,0	36,5	30,7
	350	70,2	60,8	54,6	49,5	43,0	37,2
	380	76,7	67,3	61,1	56,0	49,5	43,7
	410	83,2	73,8	67,6	62,5	56,0	50,2
	440	89,7	80,3	74,1	69,0	62,5	56,7
	470	96,2	86,8	80,6	75,5	69,0	63,2
	500	102,7	93,3	87,1	82,1	75,5	69,7
	530	109,2	99,8	93,6	88,6	82,0	76,2
	560	115,7	106,3	100,1	95,1	88,5	82,8
	590	122,2	112,8	106,6	101,6	95,0	89,3
	620	128,8	119,3	113,1	108,1	101,6	95,8
	650	135,3	125,8	119,6	114,6	108,1	102,3
	680	141,8	132,3	126,1	121,1	114,6	108,8
	710	148,3	138,8	132,6	127,6	121,1	115,3
	740	154,8	145,3	139,1	134,1	127,6	121,8
	760	157,1	149,6	143,5	138,4	131,9	126,1
	790		156,1	150,0	144,9	138,4	132,6
	800		157,1	152,1	147,1	140,6	134,8
	830			157,1	153,6	147,1	141,3
	850				157,1	151,4	145,6
	880					157,1	152,1
	910					157,1	

## Bericht zu Bewehrungsanschlüssen mit dem fischer Injektionssystem FIS V Plus / FIS V Plus Low Speed im Brandfall

Tabelle 16: Balken-Wand-Anschluss für  $c_{nom,min} = 30\text{mm}$  und  $\varnothing 25\text{mm}$ 

<b>Betondeckung = 30mm</b>		<b>Charakteristischer Widerstand im Brandfall <math>N_{Rk,fire}</math> [kN]</b>					
<b><math>\varnothing</math> [mm]</b>	<b><math>l_v</math> [mm]</b>	<b>R30</b>	<b>R60</b>	<b>R90</b>	<b>R120</b>	<b>R180</b>	<b>R240</b>
25	250	61,3	48,7	40,2	33,4	24,5	17,0
	280	69,4	56,8	48,3	41,5	32,8	25,5
	310	77,5	64,9	56,5	49,7	40,9	33,6
	340	85,7	73,0	64,6	57,8	49,0	41,8
	370	93,8	81,2	72,7	65,9	57,2	49,9
	400	101,9	89,3	80,8	74,1	65,3	58,0
	430	110,1	97,4	89,0	82,2	73,4	66,1
	460	118,2	105,6	97,1	90,3	81,6	74,3
	490	126,3	113,7	105,2	98,4	89,7	82,4
	520	134,4	121,8	113,4	106,6	97,8	90,5
	550	142,6	129,9	121,5	114,7	105,9	98,7
	580	150,7	138,1	129,6	122,8	114,1	106,8
	610	158,8	146,2	137,7	131,0	122,2	114,9
	640	167,0	154,3	145,9	139,1	130,3	123,0
	670	175,1	162,5	154,0	147,2	138,5	131,2
	700	183,2	170,6	162,1	155,3	146,6	139,3
	730	191,3	178,7	170,3	163,5	154,7	147,4
	760	199,5	186,9	178,4	171,6	162,8	155,6
	790	207,6	195,0	186,5	179,7	171,0	163,7
	820	215,7	203,1	194,6	187,9	179,1	171,8
	850	223,9	211,2	202,8	196,0	187,2	179,9
	880	232,0	219,4	210,9	204,1	195,4	188,1
	910	240,1	227,5	219,0	212,3	203,5	196,2
	930	245,4	232,9	224,5	217,7	208,9	201,6
	960		241,0	232,6	225,8	217,0	209,8
	980		245,4	238,0	231,2	222,5	215,2
	1010			245,4	239,3	230,6	223,3
	1040				245,4	238,7	231,4
	1070					239,6	245,4
	1100					245,4	

## Bericht zu Bewehrungsanschlüssen mit dem fischer Injektionssystem FIS V Plus / FIS V Plus Low Speed im Brandfall

Tabelle 17: Balken-Wand-Anschluss für  $c_{nom,min} = 30\text{mm}$  und  $\varnothing 28\text{mm}$ 

<b>Betondeckung = 30mm</b>		<b>Charakteristischer Widerstand im Brandfall <math>N_{Rk,fire}</math> [kN]</b>					
<b><math>\varnothing</math> [mm]</b>	<b><math>l_v</math> [mm]</b>	<b>R30</b>	<b>R60</b>	<b>R90</b>	<b>R120</b>	<b>R180</b>	<b>R240</b>
28	280	78,3	63,6	53,6	45,8	35,7	27,1
	310	87,4	72,7	62,8	54,9	44,8	36,2
	340	96,5	81,8	71,9	64,0	53,9	45,3
	370	105,6	90,9	81,0	73,1	63,0	54,4
	400	114,7	100,0	90,1	82,2	72,1	63,5
	430	123,8	109,1	99,2	91,3	81,2	72,6
	460	132,9	118,2	108,3	100,4	90,3	81,7
	490	142,0	127,3	117,4	109,5	99,4	90,9
	520	151,1	136,4	126,5	118,6	108,5	100,0
	550	160,2	145,5	135,6	127,7	117,6	109,1
	580	169,3	154,6	144,7	136,8	126,7	118,2
	610	178,4	163,7	153,8	145,9	135,8	127,3
	640	187,5	172,8	162,9	155,0	144,9	136,4
	670	196,6	181,9	172,0	164,1	154,0	145,5
	700	205,7	191,0	181,1	173,2	163,1	154,6
	730	214,8	200,1	190,2	182,3	172,2	163,7
	760	223,9	209,2	199,3	191,4	181,3	172,8
	790	233,0	218,3	208,4	200,5	190,4	181,9
	820	242,1	227,4	217,5	209,6	199,5	191,0
	850	251,2	236,5	226,6	218,7	208,6	200,1
	880	260,3	245,6	235,7	227,9	217,8	209,2
	910	269,4	254,7	244,8	237,0	226,9	218,3
	940	278,6	263,8	253,9	246,1	236,0	227,4
	970	287,7	273,0	263,0	255,2	245,1	236,5
	1000	296,8	282,1	272,2	264,3	254,2	245,6
	1030	305,9	291,2	281,3	273,4	263,3	254,7
	1040		294,2	284,3	276,4	266,3	257,8
	1070		303,3	293,4	285,5	275,4	266,9
	1090			299,5	291,6	281,5	272,9
	1120				300,7	290,6	282,0
	1150					299,7	291,1
	1180						300,3
	1210					307,9	307,9
			307,9		307,9		

## Bericht zu Bewehrungsanschlüssen mit dem fischer Injektionssystem FIS V Plus / FIS V Plus Low Speed im Brandfall

## 6.2.4. Widerstände für den Balken-Wand-Anschluss mit einer Betondeckung von 40mm

Tabelle 18: Balken-Wand-Anschluss für  $c_{nom,min} = 40\text{mm}$  und Ø8mm

<b>Betondeckung = 40mm</b>		<b>Charakteristischer Widerstand im Brandfall <math>N_{Rk,fire} [\text{kN}]</math></b>					
<b>Ø [mm]</b>	<b>lv [mm]</b>	<b>R30</b>	<b>R60</b>	<b>R90</b>	<b>R120</b>	<b>R180</b>	<b>R240</b>
8	100	7,1	3,9	2,0	0,9	0,4	0,2
	110	8,0	4,6	2,4	1,0	0,5	0,2
	140	10,6	7,3	5,1	3,3	1,7	1,0
	170	13,2	9,9	7,7	5,8	3,3	2,0
	200	15,8	12,5	10,3	8,4	6,0	4,0
	230	18,4	15,1	12,9	11,0	8,6	6,4
	260	21,0	17,7	15,5	13,6	11,2	9,1
	290	23,6	20,3	18,1	16,2	13,8	11,7
	310		22,1	19,9	18,0	15,5	13,4
	340		24,7	22,5	20,6	18,1	16,1
	350			23,4	21,5	19,0	16,9
	370				23,2	20,7	18,7
	400					23,3	21,3
	420						23,0
	450						25,1

## Bericht zu Bewehrungsanschlüssen mit dem fischer Injektionssystem FIS V Plus / FIS V Plus Low Speed im Brandfall

Tabelle 19: Balken-Wand-Anschluss für  $c_{nom,min} = 40\text{mm}$  und  $\varnothing 10\text{mm}$ 

<b>Betondeckung = 40mm</b>		<b>Charakteristischer Widerstand im Brandfall <math>N_{Rk,fire} [\text{kN}]</math></b>					
<b><math>\varnothing [\text{mm}]</math></b>	<b><math>l_v [\text{mm}]</math></b>	<b>R30</b>	<b>R60</b>	<b>R90</b>	<b>R120</b>	<b>R180</b>	<b>R240</b>
10	100	9,0	4,8	2,4	1,1	0,5	0,2
	110	10,0	5,7	2,9	1,2	0,6	0,3
	140	13,3	9,2	6,3	4,0	2,0	1,1
	170	16,5	12,4	9,5	7,0	4,0	2,4
	200	19,8	15,7	12,8	10,3	7,2	4,8
	230	23,1	18,9	16,0	13,6	10,5	7,7
	260	26,3	22,2	19,3	16,8	13,7	11,1
	290	29,6	25,4	22,5	20,1	17,0	14,3
	320	32,8	28,7	25,8	23,3	20,2	17,6
	350	36,1	31,9	29,0	26,6	23,5	20,8
	380	39,3	35,2	32,3	29,9	26,7	24,1
	410		38,4	35,5	33,1	30,0	27,3
	420		39,3	36,6	34,2	31,0	28,4
	450			39,3	37,4	34,3	31,7
	470				39,3	36,5	33,8
	500					37,1	39,3
	520					39,3	39,3

## Bericht zu Bewehrungsanschlüssen mit dem fischer Injektionssystem FIS V Plus / FIS V Plus Low Speed im Brandfall

Tabelle 20: Balken-Wand-Anschluss für  $c_{nom,min} = 40\text{mm}$  und  $\varnothing 12\text{mm}$ 

<b>Betondeckung = 40mm</b>		<b>Charakteristischer Widerstand im Brandfall <math>N_{Rk,fire} [\text{kN}]</math></b>					
<b><math>\varnothing [\text{mm}]</math></b>	<b><math>l_v [\text{mm}]</math></b>	<b>R30</b>	<b>R60</b>	<b>R90</b>	<b>R120</b>	<b>R180</b>	<b>R240</b>
12	100	10,9	5,8	2,9	1,3	0,5	0,1
	110	12,2	6,7	3,4	1,5	0,7	0,1
	140	16,1	11,0	7,3	4,6	2,3	1,2
	170	20,0	14,9	11,2	8,1	4,5	2,6
	200	23,9	18,8	15,1	12,2	8,3	5,4
	230	27,8	22,7	19,0	16,1	12,2	8,6
	260	31,7	26,6	22,9	20,0	16,1	12,8
	290	35,6	30,5	26,8	23,9	20,0	16,7
	320	39,5	34,4	30,7	27,8	23,9	20,6
	350	43,4	38,3	34,6	31,7	27,8	24,5
	380	47,3	42,2	38,5	35,6	31,7	28,4
	410	51,2	46,1	42,4	39,5	35,6	32,3
	440	55,1	50,0	46,3	43,4	39,5	36,2
	460		52,6	48,9	46,0	42,1	38,8
	490			52,8	49,9	46,0	42,7
	520				53,8	49,9	46,6
	550					53,9	50,5
	570						53,1
	600						56,5

## Bericht zu Bewehrungsanschlüssen mit dem fischer Injektionssystem FIS V Plus / FIS V Plus Low Speed im Brandfall

Tabelle 21: Balken-Wand-Anschluss für  $c_{nom,min} = 40\text{mm}$  und  $\varnothing 14\text{mm}$ 

<b>Betondeckung = 40mm</b>		<b>Charakteristischer Widerstand im Brandfall <math>N_{Rk,fire}</math> [kN]</b>					
<b><math>\varnothing</math> [mm]</b>	<b><math>l_v</math> [mm]</b>	<b>R30</b>	<b>R60</b>	<b>R90</b>	<b>R120</b>	<b>R180</b>	<b>R240</b>
14	140	18,9	12,7	8,4	5,2	2,6	1,3
	170	23,4	17,3	13,0	9,1	5,1	2,9
	200	28,0	21,8	17,5	14,0	9,4	6,0
	230	32,5	26,4	22,1	18,5	13,9	9,6
	260	37,1	30,9	26,7	23,1	18,5	14,4
	290	41,6	35,5	31,2	27,6	23,0	19,0
	320	46,2	40,0	35,8	32,2	27,6	23,5
	350	50,7	44,6	40,3	36,8	32,1	28,1
	380	55,3	49,1	44,9	41,3	36,7	32,7
	410	59,8	53,7	49,4	45,9	41,2	37,2
	440	64,4	58,2	54,0	50,4	45,8	41,8
	470	68,9	62,8	58,5	55,0	50,3	46,3
	500	73,5	67,3	63,1	59,5	54,9	50,9
	530		71,9	67,6	64,1	59,4	55,4
	560		76,4	72,2	68,6	64,0	60,0
	570			73,7	70,1	65,5	61,5
	600				74,7	70,1	66,0
	620					73,1	69,1
	650						73,6
	680					77,0	77,0

## Bericht zu Bewehrungsanschlüssen mit dem fischer Injektionssystem FIS V Plus / FIS V Plus Low Speed im Brandfall

Tabelle 22: Balken-Wand-Anschluss für  $c_{nom,min} = 40\text{mm}$  und  $\varnothing 16\text{mm}$ 

<b>Betondeckung = 40mm</b>		<b>Charakteristischer Widerstand im Brandfall <math>N_{Rk,fire}</math> [kN]</b>					
<b><math>\varnothing</math> [mm]</b>	<b><math>l_v</math> [mm]</b>	<b>R30</b>	<b>R60</b>	<b>R90</b>	<b>R120</b>	<b>R180</b>	<b>R240</b>
16	160	25,2	17,9	12,9	8,7	4,7	2,6
	190	30,4	23,1	18,1	13,9	8,3	5,0
	220	35,6	28,3	23,3	19,1	13,7	9,3
	250	40,8	33,5	28,5	24,3	18,9	14,1
	280	46,0	38,7	33,7	29,5	24,1	19,5
	310	51,2	43,9	38,9	34,7	29,3	24,7
	340	56,4	49,1	44,1	39,9	34,5	29,9
	370	61,6	54,3	49,3	45,1	39,7	35,1
	400	66,8	59,5	54,5	50,3	44,9	40,3
	430	72,0	64,7	59,7	55,5	50,1	45,5
	460	77,2	69,9	64,9	60,7	55,3	50,7
	490	82,4	75,1	70,1	65,9	60,5	55,9
	520	87,6	80,3	75,3	71,1	65,7	61,1
	550	92,8	85,5	80,5	76,3	70,9	66,3
	580	98,0	90,7	85,7	81,5	76,1	71,5
	600	100,5	94,2	89,2	85,0	79,6	75,0
	630		99,4	94,4	90,2	84,8	80,2
	640	100,5	96,1	91,9	86,5	81,9	
	670		100,5	97,1	91,7	87,1	
	690			100,5	95,2	90,6	
	720				100,4	95,8	
	730				100,5	97,5	
	750					100,5	

## Bericht zu Bewehrungsanschlüssen mit dem fischer Injektionssystem FIS V Plus / FIS V Plus Low Speed im Brandfall

Tabelle 23: Balken-Wand-Anschluss für  $c_{nom,min} = 40\text{mm}$  und  $\varnothing 20\text{mm}$ 

<b>Betondeckung = 40mm</b>		<b>Charakteristischer Widerstand im Brandfall <math>N_{Rk,fire}</math> [kN]</b>					
<b><math>\varnothing</math> [mm]</b>	<b><math>l_v</math> [mm]</b>	<b>R30</b>	<b>R60</b>	<b>R90</b>	<b>R120</b>	<b>R180</b>	<b>R240</b>
20	200	40,6	31,0	24,5	18,9	11,9	7,5
	230	47,1	37,5	31,0	25,4	18,0	12,2
	260	53,6	44,0	37,5	31,9	24,7	18,9
	290	60,1	50,5	44,0	38,4	31,2	25,4
	320	66,6	57,0	50,5	44,9	37,7	31,9
	350	73,1	63,5	57,0	51,4	44,2	38,4
	380	79,6	70,0	63,5	57,9	50,7	44,9
	410	86,1	76,5	70,0	64,4	57,2	51,4
	440	92,6	83,0	76,5	70,9	63,8	57,9
	470	99,1	89,5	83,0	77,4	70,3	64,4
	500	105,6	96,0	89,5	83,9	76,8	70,9
	530	112,1	102,5	96,0	90,4	83,3	77,4
	560	118,6	109,0	102,5	96,9	89,8	83,9
	590	125,1	115,5	109,0	103,4	96,3	90,4
	620	131,6	122,0	115,5	109,9	102,8	96,9
	650	138,1	128,5	122,0	116,4	109,3	103,4
	680	144,6	135,0	128,5	122,9	115,8	109,9
	710	151,1	141,5	135,0	129,4	122,3	116,4
157,1	740	148,0	141,5	135,9	128,8	122,9	
	770	154,6	148,1	142,4	135,3	129,4	
	790		152,4	146,8	139,6	133,8	
	820			153,3	146,1	140,3	
	840				150,5	144,6	
	870				157,0	151,1	
	880					153,3	
	900					157,1	157,1

## Bericht zu Bewehrungsanschlüssen mit dem fischer Injektionssystem FIS V Plus / FIS V Plus Low Speed im Brandfall

Tabelle 24: Balken-Wand-Anschluss für  $c_{nom,min} = 40\text{mm}$  und  $\varnothing 25\text{mm}$ 

<b>Betondeckung = 40mm</b>		<b>Charakteristischer Widerstand im Brandfall <math>N_{Rk,fire} [\text{kN}]</math></b>					
<b><math>\varnothing [\text{mm}]</math></b>	<b><math>l_v [\text{mm}]</math></b>	<b>R30</b>	<b>R60</b>	<b>R90</b>	<b>R120</b>	<b>R180</b>	<b>R240</b>
25	250	64,9	52,4	43,4	36,2	26,7	18,5
	280	73,1	60,5	51,6	44,3	34,8	27,0
	310	81,2	68,6	59,7	52,4	43,0	35,1
	340	89,3	76,8	67,8	60,6	51,1	43,3
	370	97,5	84,9	76,0	68,7	59,2	51,4
	400	105,6	93,0	84,1	76,8	67,3	59,5
	430	113,7	101,2	92,2	84,9	75,5	67,7
	460	121,8	109,3	100,3	93,1	83,6	75,8
	490	130,0	117,4	108,5	101,2	91,7	83,9
	520	138,1	125,5	116,6	109,3	99,9	92,0
	550	146,2	133,7	124,7	117,5	108,0	100,2
	580	154,4	141,8	132,9	125,6	116,1	108,3
	610	162,5	149,9	141,0	133,7	124,2	116,4
	640	170,6	158,1	149,1	141,8	132,4	124,6
	670	178,7	166,2	157,2	150,0	140,5	132,7
	700	186,9	174,3	165,4	158,1	148,6	140,8
	730	195,0	182,4	173,5	166,2	156,8	148,9
	760	203,1	190,6	181,6	174,4	164,9	157,1
	790	211,3	198,7	189,8	182,5	173,0	165,2
	820	219,4	206,8	197,9	190,6	181,1	173,3
	850	227,5	215,0	206,0	198,7	189,3	181,5
	880	235,6	223,1	214,1	206,9	197,4	189,6
	910	243,8	231,2	222,3	215,0	205,5	197,7
	920	245,4	233,9	225,0	217,7	208,2	200,4
	950		242,1	233,1	225,8	216,4	208,6
	970		245,4	238,5	231,3	221,8	214,0
	1000			245,4	239,4	229,9	222,1
	1030				245,4	238,1	230,2
	1060					238,4	245,4
	1090					245,4	

## Bericht zu Bewehrungsanschlüssen mit dem fischer Injektionssystem FIS V Plus / FIS V Plus Low Speed im Brandfall

Tabelle 25: Balken-Wand-Anschluss für  $c_{nom,min} = 40\text{mm}$  und  $\varnothing 28\text{mm}$ 

<b>Betondeckung = 40mm</b>		<b>Charakteristischer Widerstand im Brandfall <math>N_{Rk,fire}</math> [kN]</b>					
<b><math>\varnothing</math> [mm]</b>	<b><math>l_v</math> [mm]</b>	<b>R30</b>	<b>R60</b>	<b>R90</b>	<b>R120</b>	<b>R180</b>	<b>R240</b>
28	280	82,3	68,0	57,7	48,9	38,2	28,9
	310	91,4	77,1	66,8	58,0	47,3	38,0
	340	100,5	86,2	75,9	67,1	56,4	47,1
	370	109,6	95,3	85,0	76,2	65,6	56,2
	400	118,7	104,4	94,1	85,3	74,7	65,3
	430	127,8	113,5	103,2	94,4	83,8	74,4
	460	136,9	122,6	112,3	103,6	92,9	83,5
	490	146,0	131,7	121,4	112,7	102,0	92,6
	520	155,1	140,8	130,5	121,8	111,1	101,7
	550	164,2	149,9	139,6	130,9	120,2	110,9
	580	173,3	159,0	148,7	140,0	129,3	120,0
	610	182,4	168,2	157,8	149,1	138,4	129,1
	640	191,5	177,3	166,9	158,2	147,5	138,2
	670	200,6	186,4	176,0	167,3	156,6	147,3
	700	209,7	195,5	185,2	176,4	165,7	156,4
	730	218,8	204,6	194,3	185,5	174,8	165,5
	760	227,9	213,7	203,4	194,6	183,9	174,6
	790	237,0	222,8	212,5	203,7	193,0	183,7
	820	246,1	231,9	221,6	212,8	202,1	192,8
	850	255,2	241,0	230,7	221,9	211,2	201,9
	880	264,3	250,1	239,8	231,0	220,3	211,0
	910	273,4	259,2	248,9	240,1	229,4	220,1
	940	282,5	268,3	258,0	249,2	238,5	229,2
	970	291,7	277,4	267,1	258,3	247,6	238,3
	1000	300,8	286,5	276,2	267,4	256,7	247,4
	1030	307,9	295,6	285,3	276,5	265,8	256,5
	1060		304,7	294,4	285,6	275,0	265,6
	1080			300,5	291,7	281,0	271,7
	1110				300,8	290,1	280,8
	1140					299,2	289,9
	1170	307,9				307,9	299,0
	1200						307,9

## Bericht zu Bewehrungsanschlüssen mit dem fischer Injektionssystem FIS V Plus / FIS V Plus Low Speed im Brandfall

## 6.2.5. Widerstände für den Balken-Wand-Anschluss mit einer Betondeckung von 55mm

Table 26: Balken-Wand-Anschluss für  $c_{nom,min} = 55\text{mm}$  und Ø8mm

<b>Betondeckung = 55mm</b>		<b>Charakteristischer Widerstand im Brandfall <math>N_{Rk,fire} [\text{kN}]</math></b>					
<b>Ø [mm]</b>	<b>lv [mm]</b>	<b>R30</b>	<b>R60</b>	<b>R90</b>	<b>R120</b>	<b>R180</b>	<b>R240</b>
8	100	7,3	4,3	2,3	1,1	0,5	0,2
	110	8,2	5,1	2,8	1,2	0,6	0,3
	140	10,8	7,7	5,6	3,7	2,0	1,1
	170	13,4	10,3	8,2	6,3	3,8	2,2
	200	16,0	12,9	10,8	8,9	6,5	4,4
	230	18,6	15,5	13,4	11,5	9,1	6,8
	260	21,2	18,1	16,0	14,1	11,7	9,5
	290	23,8	20,7	18,6	16,7	14,3	12,1
	310	25,1	22,5	20,4	18,4	16,1	13,8
	340		25,1	23,0	21,1	18,7	16,4
	370		25,1	25,1	23,7	21,3	19,0
	390				25,1	23,0	20,8
	420					25,1	23,4
	440						25,1

## Bericht zu Bewehrungsanschlüssen mit dem fischer Injektionssystem FIS V Plus / FIS V Plus Low Speed im Brandfall

Table 27: Balken-Wand-Anschluss für  $c_{nom,min} = 55\text{mm}$  und  $\varnothing 10\text{mm}$ 

<b>Betondeckung = 55mm</b>		<b>Charakteristischer Widerstand im Brandfall <math>N_{Rk,fire} [\text{kN}]</math></b>					
<b><math>\varnothing [\text{mm}]</math></b>	<b><math>l_v [\text{mm}]</math></b>	<b>R30</b>	<b>R60</b>	<b>R90</b>	<b>R120</b>	<b>R180</b>	<b>R240</b>
10	100	9,3	5,5	2,9	1,3	0,7	0,3
	110	10,3	6,4	3,5	1,5	0,8	0,3
	140	13,6	9,8	7,0	4,6	2,5	1,3
	170	16,8	13,1	10,3	7,8	4,7	2,7
	200	20,1	16,3	13,5	11,1	8,1	5,4
	230	23,3	19,6	16,8	14,3	11,3	8,3
	260	26,6	22,8	20,0	17,6	14,6	11,7
	290	29,8	26,1	23,3	20,8	17,9	15,0
	320	33,1	29,3	26,5	24,1	21,1	18,2
	350	36,3	32,6	29,8	27,3	24,4	21,5
	380	39,3	35,8	33,0	30,6	27,6	24,7
	410		39,1	36,3	33,9	30,9	28,0
	420		37,4	34,9	31,9	29,1	
	440	39,3		37,1	34,1	31,2	
	460				36,3	33,4	
	490				39,3	36,7	
	520					39,3	39,3

## Bericht zu Bewehrungsanschlüssen mit dem fischer Injektionssystem FIS V Plus / FIS V Plus Low Speed im Brandfall

Table 28: Balken-Wand-Anschluss für  $c_{nom,min} = 55\text{mm}$  und  $\varnothing 12\text{mm}$ 

<b>Betondeckung = 55mm</b>		<b>Charakteristischer Widerstand im Brandfall <math>N_{Rk,fire}</math> [kN]</b>					
<b><math>\varnothing</math> [mm]</b>	<b><math>l_v</math> [mm]</b>	<b>R30</b>	<b>R60</b>	<b>R90</b>	<b>R120</b>	<b>R180</b>	<b>R240</b>
12	100	11,3	6,6	3,5	1,6	0,8	0,3
	110	12,6	7,8	4,2	1,8	1,0	0,4
	140	16,5	11,8	8,4	5,5	3,0	1,6
	170	20,4	15,7	12,3	9,3	5,5	3,2
	200	24,3	19,7	16,2	13,3	9,5	6,3
	230	28,2	23,6	20,1	17,2	13,4	9,8
	260	32,1	27,5	24,1	21,1	17,3	13,9
	290	36,0	31,4	28,0	25,0	21,2	17,8
	320	39,9	35,3	31,9	28,9	25,1	21,7
	350	43,8	39,2	35,8	32,8	29,0	25,6
	380	47,7	43,1	39,7	36,7	32,9	29,5
	410	51,6	47,0	43,6	40,6	36,8	33,4
	440	55,5	50,9	47,5	44,5	40,7	37,3
	450		52,2	48,8	45,8	42,0	38,6
	480		56,1	52,7	49,7	45,9	42,5
	490			54,0	51,0	47,3	43,8
	510				53,6	49,9	46,4
	540					53,8	50,3
	570						54,2
	590					56,5	56,5

## Bericht zu Bewehrungsanschlüssen mit dem fischer Injektionssystem FIS V Plus / FIS V Plus Low Speed im Brandfall

Table 29: Balken-Wand-Anschluss für  $c_{nom,min} = 55\text{mm}$  und  $\varnothing 14\text{mm}$ 

<b>Betondeckung = 55mm</b>		<b>Charakteristischer Widerstand im Brandfall <math>N_{Rk,fire}</math> [kN]</b>						
<b><math>\varnothing</math> [mm]</b>	<b><math>l_v</math> [mm]</b>	<b>R30</b>	<b>R60</b>	<b>R90</b>	<b>R120</b>	<b>R180</b>	<b>R240</b>	
14	140	19,4	13,9	10,1	6,4	3,4	1,8	
	170	23,9	18,5	14,6	10,7	6,3	3,7	
	200	28,5	23,0	19,2	15,4	10,9	7,2	
	230	33,0	27,6	23,7	19,9	15,5	11,2	
	260	37,6	32,1	28,3	24,5	20,0	16,0	
	290	42,2	36,7	32,8	29,0	24,6	20,6	
	320	46,7	41,2	37,4	33,6	29,1	25,1	
	350	51,3	45,8	41,9	38,1	33,7	29,7	
	380	55,8	50,4	46,5	42,7	38,2	34,2	
	410	60,4	54,9	51,0	47,2	42,8	38,8	
	440	64,9	59,5	55,6	51,8	47,3	43,3	
	470	69,5	64,0	60,1	56,3	51,9	47,9	
	500	74,0	68,6	64,7	60,9	56,4	52,4	
	520	77,0	71,6	67,7	63,9	59,5	55,5	
	550		76,1	72,3	68,5	64,0	60,0	
	560		77,0	73,8	70,0	65,5	61,6	
	590			77,0	74,6	70,1	66,1	
	610	77,0	77,0		77,0	73,1	69,1	
	640					73,7	77,0	
	670					77,0	77,0	

## Bericht zu Bewehrungsanschlüssen mit dem fischer Injektionssystem FIS V Plus / FIS V Plus Low Speed im Brandfall

Table 30: Balken-Wand-Anschluss für  $c_{nom,min} = 55\text{mm}$  und  $\varnothing 16\text{mm}$ 

<b>Betondeckung = 55mm</b>		<b>Charakteristischer Widerstand im Brandfall <math>N_{Rk,fire} [\text{kN}]</math></b>					
<b><math>\varnothing [\text{mm}]</math></b>	<b><math>l_v [\text{mm}]</math></b>	<b>R30</b>	<b>R60</b>	<b>R90</b>	<b>R120</b>	<b>R180</b>	<b>R240</b>
16	160	25,8	19,5	14,9	10,5	6,1	3,5
	190	31,0	24,7	20,1	15,7	10,3	6,4
	220	36,2	29,9	25,3	20,9	15,8	11,2
	250	41,4	35,1	30,5	26,1	21,0	16,2
	280	46,6	40,3	35,7	31,3	26,2	21,5
	310	51,8	45,5	40,9	36,5	31,4	26,7
	340	57,0	50,7	46,2	41,7	36,6	31,9
	370	62,2	55,9	51,4	47,0	41,8	37,1
	400	67,4	61,1	56,6	52,2	47,0	42,3
	430	72,6	66,3	61,8	57,4	52,2	47,5
	460	77,8	71,5	67,0	62,6	57,4	52,7
	490	83,0	76,7	72,2	67,8	62,6	57,9
	520	88,2	82,0	77,4	73,0	67,8	63,1
	550	93,4	87,2	82,6	78,2	73,0	68,3
	580	98,6	92,4	87,8	83,4	78,2	73,5
	600	100,5	95,8	91,2	86,8	81,7	77,0
	630		96,4	92,0	86,9	82,2	
	660			97,2	92,1	87,4	
	680				95,6	90,9	
	710				100,5	96,1	
	740					100,5	

## Bericht zu Bewehrungsanschlüssen mit dem fischer Injektionssystem FIS V Plus / FIS V Plus Low Speed im Brandfall

Table 31: Balken-Wand-Anschluss für  $c_{nom,min} = 55\text{mm}$  und  $\varnothing 20\text{mm}$ 

<b>Betondeckung = 55mm</b>		<b>Charakteristischer Widerstand im Brandfall <math>N_{Rk,fire} [\text{kN}]</math></b>					
<b><math>\varnothing [\text{mm}]</math></b>	<b><math>l_v [\text{mm}]</math></b>	<b>R30</b>	<b>R60</b>	<b>R90</b>	<b>R120</b>	<b>R180</b>	<b>R240</b>
20	200	41,3	33,5	27,4	21,7	14,8	9,5
	230	47,8	40,0	33,9	28,2	21,3	14,9
	260	54,3	46,5	40,4	34,7	27,8	21,7
	290	60,8	53,0	46,9	41,2	34,3	28,2
	320	67,3	59,5	53,4	47,7	40,8	34,7
	350	73,8	66,0	59,9	54,2	47,3	41,2
	380	80,3	72,5	66,4	60,7	53,8	47,7
	410	86,8	79,0	72,9	67,2	60,3	54,2
	440	93,3	85,5	79,4	73,7	66,9	60,7
	470	99,8	92,0	85,9	80,2	73,4	67,2
	500	106,3	98,5	92,4	86,7	79,9	73,7
	530	112,8	105,0	98,9	93,2	86,4	80,2
	560	119,4	111,5	105,4	99,7	92,9	86,7
	590	125,9	118,0	111,9	106,2	99,4	93,2
	620	132,4	124,5	118,4	112,7	105,9	99,7
	650	138,9	131,0	124,9	119,2	112,4	106,2
	680	145,4	137,5	131,5	125,7	118,9	112,7
	710	151,9	144,0	138,0	132,2	125,4	119,2
740	750	150,5	144,5	138,7	131,9	125,7	
		152,7	146,6	140,9	134,1	127,9	
		157,1	153,1	147,4	140,6	134,4	
	800	157,1	157,1	151,7	144,9	138,7	
				157,1	151,4	145,2	
	830	157,1	157,1	157,1	157,1	151,7	
	860					157,1	
	890					157,1	

## Bericht zu Bewehrungsanschlüssen mit dem fischer Injektionssystem FIS V Plus / FIS V Plus Low Speed im Brandfall

Table 32: Balken-Wand-Anschluss für  $c_{nom,min} = 55\text{mm}$  und  $\varnothing 25\text{mm}$ 

<b>Betondeckung = 55mm</b>		<b>Charakteristischer Widerstand im Brandfall <math>N_{Rk,fire} [\text{kN}]</math></b>					
<b><math>\varnothing [\text{mm}]</math></b>	<b><math>l_v [\text{mm}]</math></b>	<b>R30</b>	<b>R60</b>	<b>R90</b>	<b>R120</b>	<b>R180</b>	<b>R240</b>
25	250	65,9	56,0	47,8	40,2	31,2	22,7
	280	74,0	64,1	56,0	48,4	39,3	31,2
	310	82,1	72,3	64,1	56,5	47,4	39,3
	340	90,3	80,4	72,2	64,6	55,6	47,5
	370	98,4	88,5	80,3	72,8	63,7	55,6
	400	106,5	96,7	88,5	80,9	71,8	63,7
	430	114,7	104,8	96,6	89,0	80,0	71,8
	460	122,8	112,9	104,7	97,1	88,1	80,0
	490	130,9	121,0	112,9	105,3	96,2	88,1
	520	139,1	129,2	121,0	113,4	104,3	96,2
	550	147,2	137,3	129,1	121,5	112,5	104,4
	580	155,3	145,4	137,2	129,7	120,6	112,5
	610	163,4	153,6	145,4	137,8	128,7	120,6
	640	171,6	161,7	153,5	145,9	136,9	128,7
	670	179,7	169,8	161,6	154,1	145,0	136,9
	700	187,8	177,9	169,8	162,2	153,1	145,0
	730	196,0	186,1	177,9	170,3	161,2	153,1
	760	204,1	194,2	186,0	178,4	169,4	161,3
	790	212,2	202,3	194,2	186,6	177,5	169,4
	820	220,3	210,5	202,3	194,7	185,6	177,5
	850	228,5	218,6	210,4	202,8	193,8	185,7
	880	236,6	226,7	218,5	211,0	201,9	193,8
	910	244,7	234,9	226,7	219,1	210,0	201,9
	920	245,4	237,6	229,4	221,8	212,7	204,6
	950		237,5	229,9	220,9	212,7	
	980		245,4	238,1	229,0	220,9	
	1010			245,4	237,1	229,0	
	1040				245,2	237,1	
	1050				245,4	239,8	
	1080					245,4	

## Bericht zu Bewehrungsanschlüssen mit dem fischer Injektionssystem FIS V Plus / FIS V Plus Low Speed im Brandfall

Table 33: Balken-Wand-Anschluss für  $c_{nom,min} = 55\text{mm}$  und  $\varnothing 28\text{mm}$ 

<b>Betondeckung = 55mm</b>		<b>Charakteristischer Widerstand im Brandfall <math>N_{Rk,fire}</math> [kN]</b>					
<b><math>\varnothing</math> [mm]</b>	<b><math>l_v</math> [mm]</b>	<b>R30</b>	<b>R60</b>	<b>R90</b>	<b>R120</b>	<b>R180</b>	<b>R240</b>
28	280	83,5	72,4	63,0	54,4	43,2	33,8
	310	92,6	81,5	72,1	63,5	52,3	42,9
	340	101,7	90,6	81,2	72,6	61,5	52,0
	370	110,8	99,7	90,3	81,7	70,6	61,1
	400	119,9	108,8	99,5	90,8	79,7	70,2
	430	129,0	117,9	108,6	99,9	88,8	79,3
	460	138,1	127,0	117,7	109,0	97,9	88,4
	490	147,2	136,2	126,8	118,1	107,0	97,5
	520	156,3	145,3	135,9	127,2	116,1	106,6
	550	165,4	154,4	145,0	136,3	125,2	115,7
	580	174,5	163,5	154,1	145,4	134,3	124,8
	610	183,7	172,6	163,2	154,5	143,4	133,9
	640	192,8	181,7	172,3	163,6	152,5	143,1
	670	201,9	190,8	181,4	172,7	161,6	152,2
	700	211,0	199,9	190,5	181,9	170,7	161,3
	730	220,1	209,0	199,6	191,0	179,8	170,4
	760	229,2	218,1	208,7	200,1	188,9	179,5
	790	238,3	227,2	217,8	209,2	198,0	188,6
	820	247,4	236,3	226,9	218,3	207,1	197,7
	850	256,5	245,4	236,0	227,4	216,2	206,8
	880	265,6	254,5	245,1	236,5	225,3	215,9
	910	274,7	263,6	254,2	245,6	234,4	225,0
	940	283,8	272,7	263,3	254,7	243,5	234,1
	970	292,9	281,8	272,4	263,8	252,6	243,2
	1000	302,0	290,9	281,5	272,9	261,7	252,3
1020	307,9	297,0	287,6	279,0	267,8	258,4	
		306,1	296,7	288,1	276,9	267,5	
			299,7	291,1	280,0	270,5	
				300,2	289,1	279,6	
	307,9				298,2	288,7	
					307,3	297,8	
						300,9	
						307,9	

## 7. Referenzen

- [1] 18048HK/15562\_1: Report on fire tests for post installed rebars according to EAD 330087-00-0601 with the fischer FIS V 360 S injection system August 2018.
- [2] DIN EN 1992-1-2, 2010-12: Eurocode 2: Bemessung und Konstruktion von Stahlbeton- und Spannbetontragwerken - Teil 1-2: Allgemeine Regeln - Tragwerksbemessung für den Brandfall; EN 1992-1-2:2004 + NA:2008
- [3] DIN EN 1993-1-2, 2010-12: Eurocode 3: Bemessung und Konstruktion von Stahlbauten - Teil 1-2: Allgemeine Regeln - Tragwerksbemessung für den Brandfall; EN 1993-1-2:2005 + NA:2009.
- [4] DIN EN 1363-1, 2012-10: Feuerwiderstandsprüfungen - Teil 1: Allgemeine Anforderungen.
- [5] DIN EN 1992-1-1, 2011-01: Eurocode 2: Bemessung und Konstruktion von Stahlbeton- und Spannbetontragwerken - Teil 1-1: Allgemeine Bemessungsregeln und Regeln für den Hochbau
- [6] ISO 834-1:1999: Fire-resistance tests - Elements of building construction - Part 1: General requirements.
- [7] 20037HK/15511\_3: Assessment of heating sleeve tests with fischer injection sys-tems FIS V in mixing ratio 10:1 respectively FIS V Plus and FIS V in mixing ratio 5:1 in different versions according to EAD 330087-00-0601 November 2020.